

کاربرد فرایند مکانوشیمیایی در تهیه پودرهای بس ریز گارنت ایتریوم آهن با جانشانی بیسموت ($\text{BiY}_2\text{Fe}_5\text{O}_{12}$)

احمد حسن پور، جمشید عمیقیان، مرتضی مظفری

دانشگاه اصفهان، دانشکده علوم، گروه فیزیک

پست الکترونیکی: jamighian@sci.ui.ac.ir

(دریافت مقاله ۱۳۸۲/۷/۲۲ ، دریافت نسخه نهایی ۱۳۸۲/۱۱/۱۶)

چکیده: در این پژوهش پودرهای نانومتری گارنت ایتریوم- آهن با جانشانی بیسموت به کمک فرایند مکانوشیمیایی تهیه شد. در فرایند یاد شده بخشی از انرژی فعال سازی واکنش شیمیایی توسط آسیاب پر انرژی تأمین می شود. این امر موجب کاهش دمای تشکیل فاز و دستیابی به یک پودر تک فاز بس ریز می شود که مورد اخیر ناشی از محدود شدن رشد ذرات است. در این پژوهش بهترین دمای برشنن پس از ۵ ساعت آسیاب کاری در حدود 800°C به دست آمد. این دما در مقایسه با دمای تشکیل فاز مورد نظر در روش متداول سرامیکی، پایین تر است. اندازه میانگین ذرات بالاستفاده از (SEM) و نیز از روی الگوی پراش پرتو ایکس در گستره 60 تا 500 نانومتر تخمین زده شد. مغناطش اشباعی در دمای اتاق نمونه ها با یک دستگاه مغناطش سنج ارتعاشی (VSM) اندازه گیری شد. مقادیر کوچکتر مغناطش اشباعی نمونه های تهیه شده نسبت به نمونه های ساخته شده به روش متداول سرامیکی بر اساس نظریه هسته- پوسته مورد بحث قرار گرفته است.

واژه های کلیدی: فرایند مکانوشیمیایی، ذرات نانومتری، گارنتهای جانشانی شده، دمای برشنن، مغناطش اشباعی.



The use of mechanochemical processing in preparation of ultrafine Bi-substituted Yttrium Iron Garnet (Bi-YIG)

A. Hasanpour, J. Amighian, M. Mozaffari

Department of Physics, University of Isfahan, Iran 81746-7344.

E-mail: jamighian@sci.ui.ac.ir

(received: 14/10/2003, received in revised form: 5/2/2004)

Abstract: In this work we have prepared nano-sized Bi-YIG powders, using mechanochemical processing. In this process, a part of the activation energy, which is necessary for chemical reactions, is provided by high-energy mills. The as milled powders obtained by this technique need a lower annealing temperature in comparison with those obtained by conventional ceramic technique to become a single phase garnet. The lower temperature itself can produce ultrafine powders by inhibiting grain growth. The optimum calcining temperature was 800 °C for 5 hours milling time, which is much lower than 1000°C needed in conventional ceramic technique. Longer milling times are not recommended, because it produces extra iron into the powders. The average particle size of the powders was in the range 50 to 60 nm, using Scherrer's formula. Room temperature saturation magnetizations of the samples were measured using a vibrating sample magnetometer (VSM). These were 0.022, 6, 17 and 20 emu/g for the samples annealed at 700, 725, 750 and 800 °C, respectively. The lower magnetization values respect to the conventional ceramic technique, are discussed according to core-shell model.

Keywords: *Mechanochemical processing, Nanoparticles, Substituted garnets, Calcining temperature, Saturation Magnetization*

مقدمه

امروزه ذرات مغناطیسی نانومتری به خاطر تک حوزه‌ای بودن، در پژوهش‌های فیزیک ماده چگال جایگاه ویژه‌ای دارند. انداره کوچک این ذرات موجب پیدایش اثرهای کواتومی اندازه، و تونل زنی مغناطیسی می‌شود [۱]. از دیدگاه کاربردی نیز این مواد در ذخیره‌سازی اطلاعات به روش مغناطیسی با مغناطواپتیکی، به منظور افزایش ظرفیت ذخیره‌سازی، اهمیت فراوان دارند [۲ و ۳]. گارنت ایتریوم- آهن (YIG)^۱ با فرمول شیمیایی $Y_2Fe_5O_{12}$ دارای ساختار مکعبی است که با کانی گراسولاریت (گارنت طبیعی با فرمول شیمیایی $Ca_3Si_4Al_2O_{12}$) هم ساختار دارد. هر یاخته مغناطیسی (YIG) شامل هشت فرمول شیمیایی (با ۱۶۰ اتم) است که در آن یونهای اکسیژن جایگاههای بلورین (۹۶h) را اشغال می‌کنند و یک ساختار مکعبی مرکز حجمی (bcc) را تشکیل می‌دهند. یونهای مغناطیسی آهن در بیست و چهار جایگاه چهاروجهی (۲۴d) و شانزده جایگاه هشت وجهی (۱۶a) قرار می‌گیرند و یونهای نامغناطیسی ایتریوم- آهن، مغناطش جایگاههای a و d به طور پادفرومغناطیسی جفت می‌شوند، گشتاور برایнд (YIG) در صفر کلوین برابر با 5mB است. برهم‌کنش آنهای این دو جایگاه غیرمستقیم بوده و از طریق یونهای اکسیژن (O°) انجام می‌گیرد که به آن برهم‌کنش ابر تبدالی^۲ گویند.

هنگامی که جایگاههای دوازده وجهی (c) با یونهای مغناطیسی پر شوند، گشتاور مغناطیسی این یونها با برایند گشتاور جایگاههای a و d نیز پادفرومغناطیسی جفت می‌شوند. در این حالت مغناطش کل گارنت از رابطه $M_s = (M_d - M_a)$ به دست می‌آید، که در آن M_d و M_a به ترتیب مغناطش زیر شبکه‌های چهار وجهی، هشت وجهی و دوازده وجهی است. گلر و همکارانش نشان دادند که یون نامغناطیسی بیسموت (Bi^{3+}) با پیکربندی الکترونی $6S^2(5d^{10})$ در ساختار گارنت ایتریوم- آهن، جانشین یون ایتریوم در جایگاههای دوازده وجهی (c) می‌شود [۳]. از این رو، گشتاور مغناطیسی برایند گارنت ایتریوم- آهن جانشانی شده با بیسموت (Bi-YIG) در صفر کلوین همانند ترکیب اصلی (YIG) برابر 5mB است. گارنت Bi-YIG یکی از پرکاربردترین مواد مغناطیسی در ساخت دیسکها و دستگاههای نمایشگر مغناطواپتیکی است [۲]. پودرهای نانومتری این ترکیب را می‌توان به روش‌های گوناگون شیمیایی، مثل همرسوی [۴]، پیرولیز [۵]، سلول [۶]، رسوب گیری همگن [۷]، آلکوکسید [۸] و گرمابی [۹] تهیه کرد. به تازگی فرایند مکانوشیمیایی^۳، که در آن بخشی از انرژی

1- Yttrium Iron Garnet

2- Superexchange interaction

3- Mechanochemical Processing (MCP)

فعال سازی واکنش به وسیله آسیابهای پر انرژی تأمین می شود [۱۰، ۱۱]. کاربرد فراوانی در تولید پودرهای نانومتری پیدا کرده است [۲]. در این پژوهش با استفاده از فرایند مکانوشیمیایی پودرهای نانومتری تکفار گارنت $\text{BiY}_2\text{Fe}_5\text{O}_{12}$ در دمایی بسیار پایین تر از روش متداول سرامیکی تهیه شد.

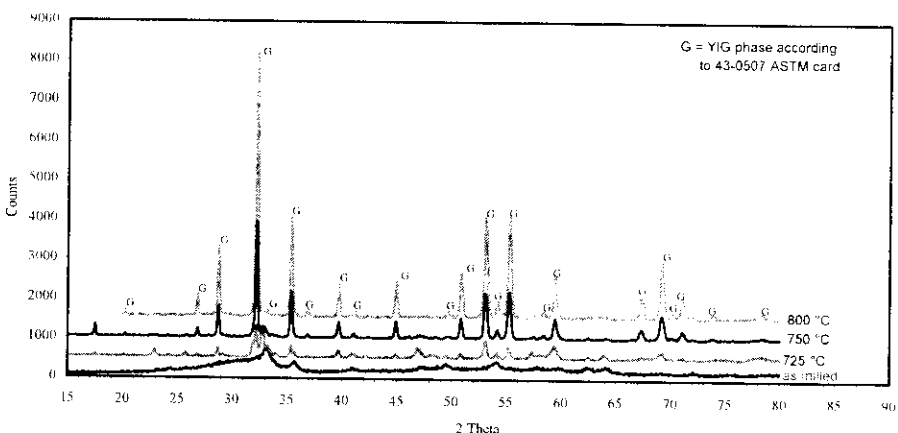
روش آزمایش

برای تهیه نمونه‌ها از مواد اولیه آزمایشگاهی شامل اکسیدهای ایتریوم (Y_2O_3)، آهن (Fe_2O_3) و بیسموت (Bi_2O_3) از محصولات شرکت مرک آلمان با خلوص حداقل ۹۹ درصد استفاده شد. این مواد به ترتیب با نسبت‌های مولی ۲/۱، ۴/۷۵ و ۱ تو زین و سپس با یک دستگاه آسیاب پر انرژی SPEX 8000D در زمانهای گوناگون از ۱ تا ۲۰ ساعت با سامد ۱۰۰۰ rpm آسیاب شد. دلیل انتخاب نسبت مولی ۴/۷۵ به جای ۵ برای اکسید آهن، جلوگیری از افزایش نسبت استوکیومتری آن در محلوط نهایی به خاطر سایش گلوله‌های فولادی در این فرایند است. این نسبت با روش سعی و خطا طوری تعیین شد که به یک ترکیب موازن شیمیایی تک فاز منجر شود. نسبت جرم مواد به جرم گلوله‌ها ۱ به ۷ انتخاب گردید. حجم ظرف آسیاب ۸۰ میلی لیتر و از ۳ گلوله فولادی به قطر ۱۲/۸ و ۴ گلوله فولادی به قطر ۵ میلی‌متر استفاده شد. پس از آسیاب، برای به دست آوردن یک نمونه تک فاز پودرهای آسیاب شده تحت عملیات گرمایی قرار گرفتند. به این منظور از یک دستگاه کوره الکتریکی خودکار و قابل برنامه‌ریزی ساخت شرکت Nabertherm آلمان استفاده شد. آهنگ گرمایش برای همه نمونه‌ها ۵ °C/min و دمای برشتن در گستره ۷۰۰ تا ۹۰۰ °C زمان برشتن ۳ ساعت انتخاب شد. برای سرد شدن برنامه‌ای در نظر گرفته نشد تا نمونه‌ها همراه با کوره آزادانه تا دمای اتاق سرد شوند. برای شناسایی فازهای بلوری موجود در نمونه‌های آسیاب شده و برшته شده در دماهای مختلف، از یک دستگاه پراش سنج پرتو ایکس (XRD) ساخت شرکت فیلیپس مدل X'Pert استفاده شد. با استفاده از الگوهای پراش پرتو ایکس پهن‌شدنگی در نصف شدت بیشینه (B_1) اندازه‌گیری و به کمک رابطه شر اندازه میانگین ذرات پودری محاسبه گردید. برای این منظور، از یک الگوی کمکی با فرمول شیمیایی همسان ولی کپه‌ای^۱ نیز استفاده شد تا تصحیح لازم در پهن‌شدنگی قله‌های پراش، ناشی از نقطه‌ای نبودن چشم و نیز واگرایی پرتوها و تک فام نبودن آنها انجام شود. به این ترتیب، با استفاده از رابطه شر $(\text{Bcos}\theta)/(B\cos\theta) = 0.9\lambda/t$ ، که در آن θ نیم زاویه پراش، B پهن‌شدنگی در نصف شدت بیشینه و λ طول موج پرتو X است) اندازه میانگین ذرات (t) محاسبه شد. در صورتی که اندازه ذرات بیش از ۱۰۰۰ نانومتر باشد، مقدار

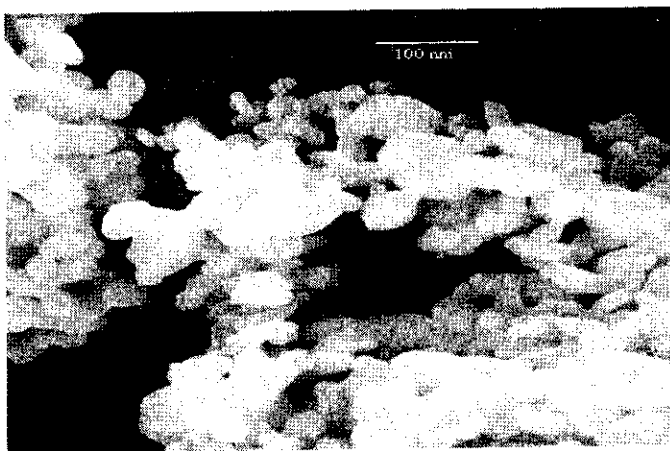
پهنه شدگی ناشی از اندازه ذره صفر خواهد شد ولی پهنه شدگی به خاطر سایر عوامل (B_0) بر جای خواهند ماند. در اینجا ما با استفاده از یک نمونه کمکی با اندازه میانگین بیش از ۱۰۰۰ نانومتر، B_0 را به دست آورده و سپس با به کارگیری رابطه $B = B_0^2 - B_1^2$ ، مقدار B ناشی از اندازه ذرات نمونه را محاسبه و برای به دست آوردن اندازه ذرات آن را در فرمول شر قرار دادیم.^{۱۲۱}. علاوه بر این، اندازه ذرات با میکروسکوپ الکترونی (SEM) نیز اندازه گیری شد. معناطش اشباعی در واحد جرم نمونه‌ها در دمای اتاق^۵ به وسیله یک دستگاه معناطش سنج ارتعاشی^۵ اندازه گیری شد.

بحث و برداشت

الگوهای XRD^۱ پودر آسیاب شده و پودرهایی که تا دمای 700°C برشه شده‌اند نشان داد که فاز گارنتی تا این دما تشکیل نشده است. ولی چنانکه در شکل ۱ دیده می‌شود، فاز مذکور در پودرهایی که در دمای بالاتر برشه شده‌اند شروع به تشکیل شدن کرده و سرانجام در 800°C کامل می‌شود. اندازه میانگین ذرات پودر تک فاز گارنت بیسموتی به دست آمده با استفاده از رابطه شر تعیین شد که در گستره ۵۰ تا ۶۰ نانومتر بود. این نتیجه با اندازه ذرات در تصاویر SEM، که یک نمونه از آنها در شکل ۲ نشان داده شده است، همخوان است.



شکل ۱ الگوهای پراش پرتو X پودرهای آسیاب شده و برشه شده در دمای‌های 725°C ، 750°C و 800°C درجه سانتیگراد.



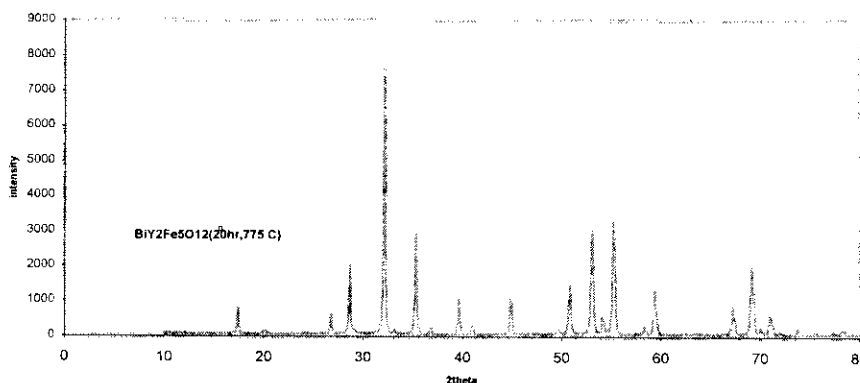
شکل ۲ تصویر میکروسکپ الکترونی از پودر برشته شده در دمای 800°C .

الگوی XRD ای پودر آسیاب شده به مدت ۲۰ ساعت و برشته شده در دمای 775°C در شکل ۳ نشان می‌دهد که فاز گارانتی به طور کامل تشکیل شده است. با توجه به زمان طولانی آسیاب و سایش بیش از حد ظرف و گلوله‌های آسیاب و در نتیجه افزایش آلودگی ناشی از آن، انجام این کار پیشنهاد نمی‌شود. مغناطش اشباعی نمونه‌ها در دمای اتاق برای نمونه‌های برشته شده در دماهای 700 ، 725 ، 750 و 800°C به ترتیب برابر 0.022 ، 0.022 ، 0.022 و 0.022 emu/g به دست آمد (شکل ۴). مقدار ناچیز مغناطش در دمای 700°C که با مقیاس شکل قابل نمایش نیست به دلیل عدم تشکیل فاز گارانتی است و با نتایج مطالعات پراش پرتو ایکس نیز همخوانی دارد. مغناطش نمونه‌های برشته شده در دماهای 750 و 800°C به گونه چشمگیری از مغناطش نمونه برشته شده در دمای 700°C بزرگتر است. با وجود به اشباع رسیدن منحنیهای مغناطش نمونه‌های برشته شده در دماهای 750 و 800°C ، مقادیر به دست آمده برای این نمونه‌ها، یعنی 0.022 و 0.022 emu/g، تا رسیدن به مقدار 0.022 emu/g مربوط به پودرهای تهیه شده به روش متداول سرامیکی فاصله زیادی دارد. این مقدار کاهش در مغناطش اشباعی می‌تواند ناشی از بی‌نظمی گشتاورها در لایه سطحی ذرات ریز باشد. زیرا در لایه سطحی به خاطر تغییر شرایط محیطی و کرنشهای ناشی از ضربه گلوله‌ها به هنگام آسیاب کردن، نظم موجود در همسایگی هر یک از کاتیونها و نیز فاصله‌های برهمنکشهای ابر تبادلی آنها دچار اختلال می‌شود و در نتیجه گشتاور مغناطیسی بلورکهای روی سطح، نسبت به راستای میدان برآید. زاویه‌های دلخواهی اختیار می‌کنند که منجر به تشکیل یک لایه اسپین-شیشه در اطراف همینه خواهد شد. با فرض این که پوسته فقد مغناطش ذاتی و دارای ضخامت ثابت بوده، و

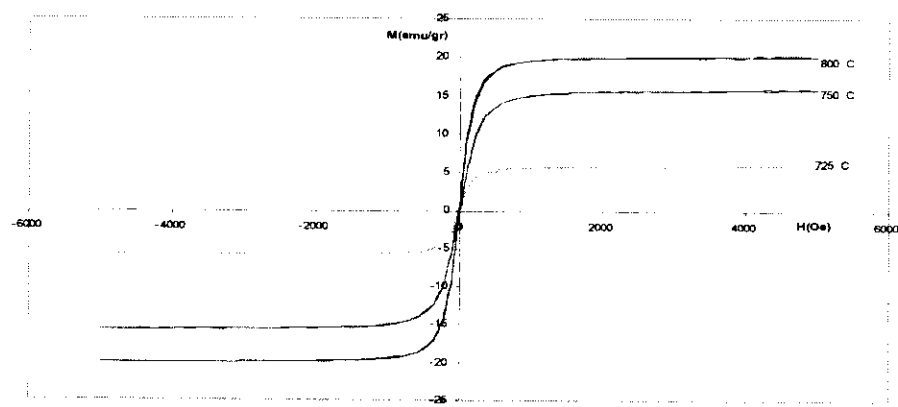
مغناطش هسته آن با مغناطش ماده کپهای برابر باشد، آنگاه مغناطش ذرهای کروی با قطر هسته D و ضخامت پوسته t از رابطه زیر به دست می آید [۱۱]:

$$M_S = M_{S0} \left\{ \frac{(D - 2t)^3}{D^3} \right\} \Rightarrow M_S^{\frac{1}{3}} = M_{S0}^{\frac{1}{3}} \left\{ 1 - \frac{2t}{D} \right\}$$

که در آن M_{S0} مغناطش حالت کپهای است. این رابطه نشان می دهد که هر چه D کوچکتر باشد، مقدار مغناطش اشباعی M_s نیز کاهش می یابد که با نتایج به دست آمده در اینجا سازگار است.



شکل ۳ الگوی پراش XRD نمونه‌ای که ۲۰ ساعت آسیاب شده و در دمای ۷۷۵°C برداشته شده است.



شکل ۴ چرخه‌های پسماند نمونه‌های برداشته شده در دماهای ۷۰۰، ۷۲۵، ۷۵۰ و ۸۰۰°C

سپاسگزاری

نویسنده‌گان وظیفه خود می‌دانند که از رحمات سرکار خانم صرامی از بخش XRD‌ی دانشکدة مواد دانشگاه صنعتی اصفهان و نیز از پروفسور L. Grace از بخش فیزیک دانشگاه ملی تایوان (National Taiwan University) به خاطر اندازه‌گیریهای XRD و VSM سپاسگزاری نمایند.

مراجع

- [1] Zhang X.X., Ziolo R., Kroll E.C., Bohigas X.J., J. Magn. Magn. Mater., 140-144 (1995) 1853. Tejada,
- [2] Kawai N., Komuro E., Namikawa T., Yamazaki Y., IEEE Magn., 30, No.6 (1994) 4446.
- [3] Geller S., Williams H.J., Espinosa G.P., Sherwood R.C., Gilleo M.A.. Appl. Phys. Lett., 3 (1963) 21.
- [4] Vaqueiro P., Lopez-Quintela M.A., Rivas G., J. Mater. Chem., 7 (1997) 501.
- [5] Matsumoto K., Yamanobe Y., Sasaki S., Fuji T., J. Appl. Phys., 70 (1999) 5912.
- [6] Vaqueiro P., Crosnier-Lopez M.P., Lopez-Quintela M.A., J. Solid State Chem. 126 (1996) 161.
- [7] Ahn S., Han M.H., J. Mater. Sci. 31 (1996) 433.
- [8] Taketomi S., Kawasaki K., Ozaki Y., Yuasa S., Otan Y., Miyajima H., J. Amer. Ceram. Soc. 77 (1994) 1787.
- [9] Cho Y.S., Butfivk V.L., Amarokoon V.R.W., J. Amer. Ceram. Soc., 80 (1997) 1605.
- [10] Ding J., Maurice D., Miami W.F., McCormick P.G., Street R., J. Magn. Magn. Mater., 150 (1995) 417.
- [11] Muroi M., Street R., McCormick P.G., Amighian J., Phys. Rev. B, 63 (2001) 184414.
- [12] Cullity B.D., "Elements of X-ray Diffraction", John-Wiley&Sons (1974).
- [13] Ichinose N., "Superfine particle technology", Springer (1992).